

## 第十一讲

上次课

● 本征函数展开法:

(1)  $\nabla^2 \varphi = 0$  有一系列正交完备的解 – 本征函数  $\{\varphi_n\}$

(2) 完备性 ---  $\varphi = \sum_n c_n \varphi_n$

(3) 展开系数:  $c_n = \langle \varphi_n | \varphi \rangle$ , 根据正交性比较不同本征函数前的系数

● 例子: 接地金属球放置于均匀电场中

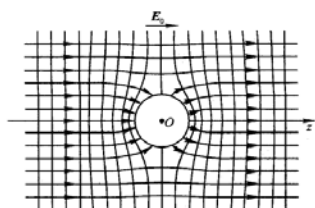


图 4.5

$$\varphi = -\vec{E}_0 \cdot \vec{r} + \frac{1}{4\pi\epsilon_0} \frac{\vec{p} \cdot \hat{r}}{r^2}$$

$$\vec{p} = 4\pi\epsilon_0 R^3 \vec{E}_0$$

进一步做一个更难一些的例子。

[例 5] 半径为  $R$ 、介电常数为  $\epsilon_2$  的均匀介质球，被置于均匀外场  $\vec{E}_0$  中，球外空间充满均匀介电常数为  $\epsilon_1$  的介质。求空间电势的分布。

解: 如图 4.6, 取  $\vec{E}_0$  方向为极轴  $z$  方向。与上一道例题不同的是, 此处**介质球内可以存在电场**。为此我们把空间分为球内球外两个区域 (I、II), 电势分别为  $\varphi_1$ ,  $\varphi_2$ , 则它们满足的方程:

$$\nabla^2 \varphi_1 = 0, \quad \nabla^2 \varphi_2 = 0 \quad (4.4.18)$$

相应的边条为

$$\begin{cases} \varphi_1 \rightarrow -E_0 r \cos \theta, & r \rightarrow \infty & (1) \\ \varphi_1 = \varphi_2, & r = R & (2) \\ \epsilon_1 \frac{\partial \varphi_1}{\partial r} \Big|_{r=R} = \epsilon_2 \frac{\partial \varphi_2}{\partial r} \Big|_{r=R} & & (3) \\ \varphi_2 \text{ 有限}, & r = 0 & (4) \end{cases}$$

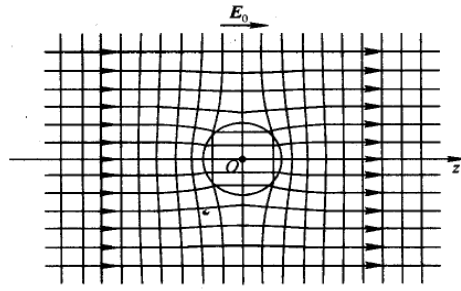


图 4.6

本问题为三维轴对称球坐标系下的问题，因此可选取合适的本征函数将  $\varphi_1, \varphi_2$  展开。显然应当选择 (4.4.5)，即

$$\begin{aligned}\varphi_1 &= \sum_{l=0}^{\infty} [A_l r^l + B_l r^{-(l+1)}] P_l(\cos \theta) \\ \varphi_2 &= \sum_{l=0}^{\infty} [A_l' r^l + B_l' r^{-(l+1)}] P_l(\cos \theta)\end{aligned}\quad (4.4.19)$$

其中  $\{A_l, A_l', B_l, B_l'\}$  为一系列展开系数，需要由边界条件确定。根据我们上次课对均匀电场中的金属球的问题的求解，我们已有了经验 - 均匀电场的边界条件

(1) 只包含  $l=1$  项的贡献，而球这种良好的几何形状保证了它不会将  $l=1$  的模式散射到其它  $l$  的模式上去。因此 (4.4.19) 中只有  $l=1$  项的系数非 0。故有

$$\begin{aligned}\varphi_1 &= (A_1 r + B_1 r^{-2}) \cos \theta \\ \varphi_2 &= (A_1' r + B_1' r^{-2}) \cos \theta\end{aligned}\quad (4.4.19')$$

\*\*\*\*\*

下面我们利用本征函数的正交性对上述论断做严格证明。

对 I 区来讲，边条 (1) 决定了除了  $A_1$  外所有的  $\{A_l\}$  均为 0。因  $P_1(\cos \theta) = \cos \theta$ ，易知：

$$A_1 = -E_0; \quad A_l = 0, \quad l \neq 1 \quad (4.4.20)$$

对 II 区来讲，边条 (4) 决定了

$$B_l' = 0, \quad l = 0, 1, \dots, \infty \quad (4.4.21)$$

下面考虑边条 (2)。代入可知，

$$\begin{aligned}\sum_{l=0}^{\infty} [A_l R^l + B_l R^{-(l+1)}] P_l(\cos \theta) &= \sum_{l=0}^{\infty} [A_l' R^l + B_l' R^{-(l+1)}] P_l(\cos \theta) \\ \varepsilon_1 \sum_{l=0}^{\infty} [l A_l R^{l-1} - (l+1) B_l R^{-(l+2)}] P_l(\cos \theta) &= \varepsilon_2 \sum_{l=0}^{\infty} [l A_l' R^{l-1} - (l+1) B_l' R^{-(l+2)}] P_l(\cos \theta)\end{aligned}\quad (4.4.22)$$

根据本征函数的正交性，上面 2 式中每个  $l$  项的系数必须分别相等，即

$$\begin{aligned}A_l R^l + B_l R^{-(l+1)} &= A_l' R^l + B_l' R^{-(l+1)} \\ \varepsilon_1 [l A_l R^{l-1} - (l+1) B_l R^{-(l+2)}] &= \varepsilon_2 [l A_l' R^{l-1} - (l+1) B_l' R^{-(l+2)}]\end{aligned}\quad (4.4.23)$$

对所有  $l \neq 1$  的项，我们有

$$\left. \begin{aligned} B_l R^{-(l+1)} &= A_l' R^l \\ \varepsilon_1 [-(l+1)B_l R^{-(l+2)}] &= \varepsilon_2 [lA_l' R^{l-1}] \end{aligned} \right\} \Rightarrow \left\{ \begin{aligned} B_l &= A_l' R^{(2l+1)} \\ B_l &= -A_l' R^{(2l+1)} \frac{l\varepsilon_2}{(l+1)\varepsilon_1} \end{aligned} \right. \quad (4.4.24)$$

显然有:

$$A_l' = B_l = 0, \quad l \neq 1 \quad (4.4.25)$$

因此只有  $l=1$  的项有非零解。

\*\*\*\*\*

代入边条 (1) - (4) 分别可得

$$\left\{ \begin{aligned} A_1 &= -E_0 \\ A_1 R + B_1 R^{-2} &= A_1' R + B_1' R^{-2} \\ \varepsilon_1 (A_1 - 2B_1 R^{-3}) &= \varepsilon_2 (A_1' - 2B_1' R^{-3}) \\ B_1' &= 0 \end{aligned} \right. \quad (4.4.26)$$

解之可得

$$\left\{ \begin{aligned} A_1 &= -E_0 \\ B_1 &= \frac{\varepsilon_2 - \varepsilon_1}{2\varepsilon_1 + \varepsilon_2} E_0 R^3 \\ A_1' &= -\frac{3\varepsilon_1}{2\varepsilon_1 + \varepsilon_2} E_0 \\ B_1' &= 0 \end{aligned} \right., \quad (4.4.27)$$

故

$$\begin{aligned} \varphi_1 &= -E_0 r \cos \theta + \frac{\varepsilon_2 - \varepsilon_1}{2\varepsilon_1 + \varepsilon_2} R^3 E_0 \frac{1}{r^2} \cos \theta \\ \varphi_2 &= -\frac{3\varepsilon_1}{2\varepsilon_1 + \varepsilon_2} E_0 r \cos \theta \end{aligned} \quad (4.4.28)$$

作如下的讨论:

(1) 先做极限分析: 当  $\varepsilon_2 = \varepsilon_1$  时, 介质球与环境的介电常数一样, 故其对外场的响应消失。带入发现,  $\varphi_1 = \varphi_2 = -E_0 r \cos \theta$ , 即空间的电场就是均匀电场!

(2) 球面上的束缚电荷就是球对外场的响应来源。其对球外区域的贡献为:

$\frac{\varepsilon_2 - \varepsilon_1}{2\varepsilon_1 + \varepsilon_2} R^3 E_0 \frac{1}{r^2} \cos \theta$ 。回想一个偶极子(偶极矩为  $p$ )的电势为  $\varphi_p = \frac{\vec{p} \cdot \vec{r}}{4\pi\varepsilon_0 r^3}$ , 对

比发现这些束缚电荷对外场的贡献相当于一个放在原点的偶极子, 其大小为

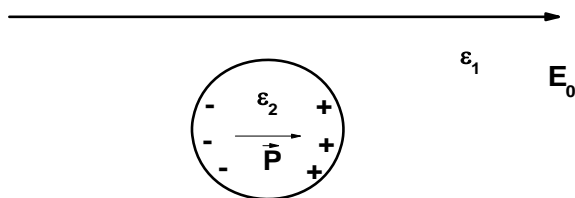
$$\vec{p} = 4\pi\epsilon_0 \frac{\epsilon_2 - \epsilon_1}{2\epsilon_1 + \epsilon_2} R^3 \vec{E}_0 \quad (4.4.29)$$

**要注意：这个结论是严格的，并非在远场成立，这一点是否让你感到很意外？**

(3) 球内的场为外场与束缚电荷所产生的附加电场之和，结果为一均匀电场：

$$\vec{E}_{\text{内}} = -\frac{\partial\phi_2}{\partial z} \hat{e}_z = \frac{3\epsilon_1}{2\epsilon_1 + \epsilon_2} \vec{E}_0 \quad (4.4.30)$$

(4) 当  $\epsilon_2 \rightarrow -\infty$  时，介质球内的场为  $\vec{E}_{\text{内}} \rightarrow 0$ ，其效果相当于一个导体球。而此时， $\vec{p} = 4\pi\epsilon_0 R^3 \vec{E}_0$ ，也回到上堂课我们求解的导体球的解。其实，这样的推论（导体相当于  $\epsilon_2 \rightarrow -\infty$  的介质）具有普遍意义，后面我们可以严格证明。



下面我们考虑一个简单的情况，即  $\epsilon_1 = \epsilon_0$ （背景介质是空气）， $\epsilon_2 = \epsilon_0 \epsilon_r$ ，此时的物理图像更加清楚。因介质球内的场为均匀场，故整个介质球被均匀极化，极化强度为

$$\vec{P} = \chi\epsilon_0 \vec{E}_{\text{内}} = \epsilon_0(\epsilon_r - 1) \frac{3}{2 + \epsilon_r} \vec{E}_0 \quad (4.4.31)$$

而同时，(4.2.29) 可化成

$$\vec{p} = 4\pi\epsilon_0 \frac{\epsilon_r - 1}{2 + \epsilon_r} R^3 \vec{E}_0 = \epsilon_0(\epsilon_r - 1) \frac{3}{2 + \epsilon_r} \vec{E}_0 \times (4\pi R^3 / 3) \quad (4.2.29')$$

上面 2 式对比发现，此时极化强度正好就是偶极子的电偶极矩/体积：

$$\vec{P} = \frac{\vec{p}}{4\pi R^3 / 3} \quad (4.4.32)$$

这当然是合理的，因为极化强度的定义就是  $\vec{P} = \frac{\sum \vec{p}_i}{\Omega}$ 。因  $\epsilon_2 > \epsilon_0$ ，我们发现  $\vec{E}_{\text{内}} < \vec{E}_0$ ，这是因为极化电荷在球内产生了电场抵消了部分外电场的贡献。这部分由**极化电荷在球内产生的电场**为

$$\vec{E}_{\text{内}} = \vec{E}_{\text{内}} - \vec{E}_0 = -\frac{\epsilon_2 - \epsilon_0}{2\epsilon_0 + \epsilon_2} \vec{E}_0 = -\frac{1}{3\epsilon_0} \vec{P} \quad (4.4.33)$$

这个场通常被称为“退极场”- 由于极化产生的极化电荷产生的场，其作用是“退”掉外场的作用。整理后的结果为：

$$\vec{E}_{\text{内}} = \vec{E}_0 - \frac{1}{3\epsilon_0} \vec{P} \quad (4.4.34)$$

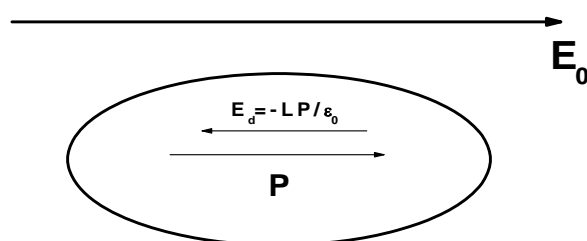
上面 2 式在很多情况下成立的，一般来说，退极场可以写成

$$\vec{E}_{\text{退}} = -L \cdot \vec{P} / \epsilon_0 \quad (4.4.35)$$

$L$  称为退极化因子，只依赖于物体的几何形状，其越大，说明退极效应越显著。

容易证明：对平板  $L=1$ ，对球  $L=\frac{1}{3}$ ，对细针， $L=0$ ，对椭球，针对长短轴的不同， $L$  可以由 0~1 不等。总结下来，介质在外场下的静电行为是

- 被外场极化
- 极化电荷在球外的贡献为偶极子
- 极化电荷对球内的贡献为均匀电场
- 退极场 (depolarization field)



**思考题：**

- (1) 若外部介质不是空气，而是具有介电常数  $\epsilon_1$  的某种电介质，极化强度  $P$  是多少？  
(4.4.32) 是否仍然成立？若不成立，为什么？
- (2) 有兴趣的同学请找文献查一查椭球体的“退极因子”的推导

下面研究一个 2 维柱坐标问题。

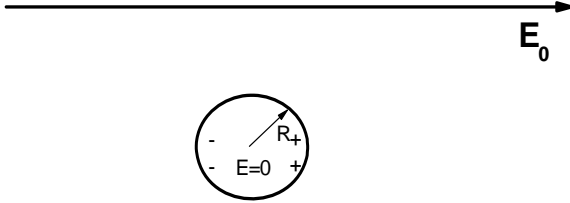
**[例 7]** 在均匀外电场  $\vec{E} = E_0 \hat{e}_x$  中有一半径为  $R$ 、电荷线密度为  $\lambda$  的无限长导体圆柱。柱轴与外场垂直，求空间中的电场分布。

**解：** 柱内区域的场为零，只需考虑柱外区域的电势，其满足方程

$$\nabla^2 \varphi = 0 \quad (4.4.36)$$

边界条件为

$$\begin{cases} \vec{E}_{\rho \rightarrow \infty} = E_0 \hat{x}; & (1) \\ \phi|_{\rho=R} = \text{常数}; & (2) \\ \oint \frac{\partial \phi}{\partial \rho} \Big|_{\rho=R} dS = -\lambda/\epsilon_0 & (3) \end{cases} \quad (4.4.37)$$



第一个边条值得讨论一下。处理均匀外场中的散射体的问题时，如果散射体是三维物体（如球），则任何感应（极化）电荷均在空间局域，因此在无穷远处，它们对场或者势的贡献都趋向于 0，此时我们可以将边条（1）进一步改写成  $\phi|_{r \rightarrow \infty} = -\vec{E} \cdot \vec{r}$ 。然而处理 2 维问题（如无限长柱子）时，感应（极化）电荷会出现在无穷远处（因为柱子会延伸到无限远处），它们对电势的贡献不趋向于 0！幸运的是，此时，它们对电场的贡献  $\sim 1/\rho$ ，故对电场的贡献仍趋于 0。处理无限大平面问题时这个问题更严重 - 感应（极化）电荷沿着 2 个方向散布到无限远，故电场、电势均不趋向于 0！不过通常 1 维问题根本无须这样求解。

此问题为与  $z$  无关的柱对称问题，故可以利用（4.4.8）展开

$$\phi = A_0 + B_0 \ln \rho + \sum_{n=1}^{\infty} (A_n \rho^n + B_n \rho^{-n}) \cos(n\phi) + \sum_{n=1}^{\infty} (C_n \rho^n + D_n \rho^{-n}) \sin(n\phi)$$

注意到  $\vec{E} = -\nabla \phi = -\frac{\partial \phi}{\partial \rho} \hat{e}_\rho - \frac{1}{\rho} \frac{\partial \phi}{\partial \phi} \hat{e}_\phi$ ，电场中  $\rho$  的阶数比电势中的低一阶。根据边

条（1），势函数中所有比  $\rho^1$  发散快的项都不可以保留，故

$$A_n = C_n = 0, \quad n > 1 \quad (4.4.38)$$

进一步利用边条（1）比较系数

$$E_\rho \Big|_{\rho \rightarrow \infty} = -\frac{\partial \phi}{\partial \rho} = -A_1 \cos \phi - C_1 \sin \phi = E_0 \cos \phi \quad (4.4.39)$$

因为  $\sin \phi$  与  $\cos \phi$  正交，可得

$$A_1 = -E_0, \quad C_1 = 0 \quad (4.4.40)$$

考虑边条 (2), 因  $\phi|_{\rho=R}$  应与  $\theta$  无关, 故有

$$\begin{cases} A_n R^n + B_n R^{-n} = 0 \\ C_n R^n + D_n R^{-n} = 0 \end{cases} \Rightarrow \begin{cases} B_n = 0, n > 1; & B_1 = E_0 R^2 \\ D_n = 0 \end{cases} \quad (4.4.41)$$

现考虑边条 (3): 对角度积分过程中所有  $n > 1$  的项都没有贡献 (因为与角度有关), 只有  $A_0, B_0$  两项留下来。最后结果为:

$$B_0 \frac{1}{R} 2\pi R = -\lambda \Rightarrow B_0 = -\frac{\lambda}{2\pi\epsilon_0} \quad (4.4.42)$$

$A_0$  为一常数, 不能唯一确定。总结下来, 最终的电势为

$$\phi = A_0 - \frac{\lambda}{2\pi\epsilon_0} \ln \rho - E_0 \rho \cos \phi + \frac{E_0 R^2}{\rho} \cos \phi \quad (4.4.43)$$

分析 (4.4.43), 我们发现空间电势由三部分贡献叠加而成: 外场, 无限长带电导体棒, 以及一个 2 维偶极子 ( $\vec{p} = 2\pi\epsilon_0 E_0 R^2$ , 参考补充题) 的场:

$\phi_p^{(2)} = \frac{1}{2\pi\epsilon_0} \frac{\vec{p} \cdot \hat{\rho}}{\rho}$ 。柱外电场强度为

$$\vec{E} = \left( \frac{\lambda}{2\pi\epsilon_0} \frac{1}{\rho} + E_0 \cos \phi + \frac{E_0 R^2}{\rho^2} \cos \phi \right) \hat{e}_\rho + \left( -E_0 \sin \phi + \frac{E_0 R^2}{\rho^2} \sin \phi \right) \hat{e}_\phi \quad (4.4.44)$$

**注:** 由这个问题的求解我们又一次发现一个规律, 即均匀外电场下无限长柱子的静电问题我们只需要考虑  $l=1$  项的贡献。这里的物理是均匀电场只包含  $l=1$  项, 而同时柱子的良好几何特征保证了不会将不同  $l$  的项耦合, 因此最终的散射场不会激发其他  $l$  项的贡献。

## § 4.5 多极矩法

之前对静电边值问题我们已经介绍了 2 种严格的方法——镜像法及本征函数展开法。然而这些方法只能处理一些具有良好对称性的问题。在实际问题中, 激发电场的电荷分布不见得具有良好的对称性, 此时应如何处理? 一般来讲这类问题我们只能数值处理。不过对某一类特定问题, 电荷分布全部集中在一个很小的区域内, 而我们想要的又是远离带电体空间的电场, 这时我们可采用一种近似的

方法 —— 多极矩展开法。

如图 4.10, 若电荷分布在有限体积  $V$  内, 电荷密度为  $\rho(\vec{r}')$ , 这个体积的线度为  $l$ , 考查的是  $P$  点的电场, 而  $P$  点和体积  $V$  内任一点  $O$  的距离为  $\vec{r}$ 。多极矩法是讨论在  $|\vec{r}| \gg l$  情况下的场分布。 $P$  点电势的准确解的形式为

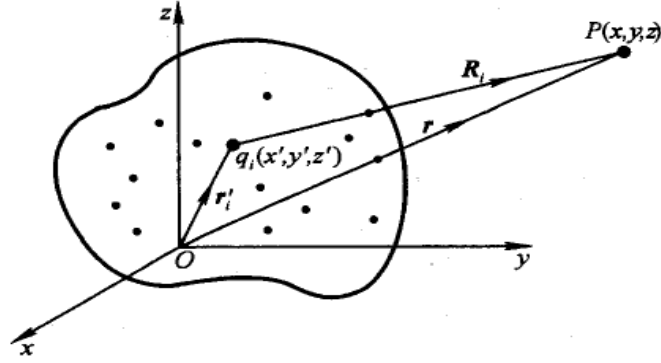


图 4.10

$$\varphi(\vec{r}) = \frac{1}{4\pi\epsilon_0} \int \frac{\rho(\vec{r}') d\tau'}{R} \quad (4.5.1)$$

这里,  $\vec{R} = \vec{r} - \vec{r}'$ 。由于  $P$  点离源较远, 有  $r' \ll r$ , 因此作为  $\vec{r}'$  的函数  $\frac{1}{R}$  可以在  $\vec{r}' = 0$  附近作 Taylor 展开:

$$\begin{aligned} \frac{1}{R} &= \frac{1}{r} + \sum_{i=x,y,z} (-r'_i) \cdot \frac{\partial}{\partial r_i} \left( \frac{1}{R} \right) \bigg|_{\vec{r}'=0} + \frac{1}{2!} \sum_{i,j=x,y,z} r'_i r'_j \frac{\partial^2}{\partial r_i \partial r_j} \left( \frac{1}{R} \right) \bigg|_{\vec{r}'=0} + \dots \\ &= \frac{1}{r} - \sum_{i=x,y,z} r'_i \cdot \frac{\partial}{\partial r_i} \left( \frac{1}{r} \right) + \frac{1}{2} \sum_{i,j=x,y,z} r'_i r'_j \frac{\partial^2}{\partial r_i \partial r_j} \left( \frac{1}{r} \right) + \dots \end{aligned} \quad (4.5.2)$$

上式可以写成更紧凑的数学上完全等价的矢量（并矢）的形式:

$$\frac{1}{R} = \frac{1}{r} - \vec{r}' \cdot \nabla \frac{1}{r} + \frac{1}{2} \vec{r}' \vec{r}' : \nabla \nabla \frac{1}{r} + \dots \quad (4.5.2')$$

习题:

P. 115, 4.2, 4.5, 4.6, 4.7

补充题

(1) 考虑两个距离为  $d$  的线电荷密度为  $\pm\lambda$  的无限长带电棒组成的体系, 计算其在远场的电势表达式。